

DAFTAR PUSTAKA

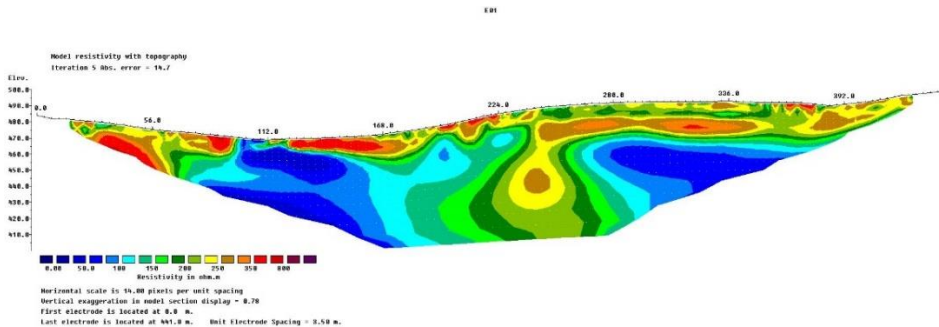
- Ahmad, W. 2005. Mine Geology, exploration methods, ore processing, resource estimation, and project development. PT. Inco: Sorowako.
- Ahmad, W. 2006. Fundamentals of Chemistry, Mineralogy, Weathering Processes and Laterite Formation. PT.Vale Inco: Sorowako.
- Ahmad, W. 2009. Fundamentals of Chemistry, Mineralogy, Weathering Processes, Formation and Exploration. PT.Vale Inco: Sorowako.
- Al-Amri, A.M. 2018. Principle of Geophysics. Riyadh: King Saud University.
- Alqadri, A. 2021. Aplikasi Geolistrik Resistivitas dalam Perencanaan Pembangunan Jembatan Penghubung Pulau Buton dan Pulau Muna, Sulawesi Tenggara. Universitas Hasanuddin: Makassar.
- Cai, J. T., Ruan, B. Y., Zhao, G. Z., & Zhu, G. P. 2013. Two-Dimensional Modeling of Complex Resistivity Using Finite Element Method. Chinese Journal of Geophysics, 50(6), 1615-1624.
- Coggon, J. H (1971). Electromagnetic And Electrical Modeling By The Finite Element Method. Geophysics, Vol. 36, No.1, 132-155.
- Dahlin, T., dan Zhou, B. 2006. Multiple-gradient array measurements for multichannel 2D resistivity imaging. Near Surface Geophysics. European Association of Geoscientists & Engineers (EAGE).
- Elias, M. 2001. Global Lateritic Nickel Resources. CSA Australia Pty Ltd, New Caledonia Nickel Conference 25th, 2001.
- Fajar, M. 2022. Penentuan Zona Intrusi Air Laut Menggunakan Metode Tahanan Jenis di Kelurahan Soreang, Kabupaten Maros. Universitas Hasanuddin: Makassar.
- Golightly, J. 1979. Geologi of Soroako Nickeliferous Laterite Deposits. Int. Laterite Simp. New Orleans.
- Grandis, H. 2009. Pengantar Inversi Geofisika. Himpunan Ahli Geofisika Indonesia (HAGI): Bandung.
- Inrian, F.A. 2023. Identifikasi Profil Nikel Laterit Berdasarkan Respon Metode Electrical Resistivity Tomography (ERT) dan Korelasinya Dengan Data Bor Area "FAI" Pada Konsesi PT. Vale Indonesia Tbk. Sorowako, Kabupaten Luwu Timur, Sulawesi Selatan. Skripsi Teknik Geofisika, Universitas Pembangunan Nasional "Veteran": Yogyakarta.
- Looke, M.H. 2004. Tutorial: 2-D and 3-D Electrical Imaging Surveys. Geotomo Software. Penang, Malaysia.
- Lowrie, W. 2007. Second Edition: Fundamentals of Geophysics. Cambridge University Press: Cambridge.

- Osborne, R.C dan Waraspati, D. 1986. Applied Mine Geology at PT. Inco, Soroako, South Sulawesi, Indonesia.
- Pinandhito, H.S. 2018. Identifikasi Profil Deposit Nikel Laterit Berdasarkan Analisis ERT dan Data Bor Lapangan "VDM" Area PT. Vale Indonesia, Tbk. Universitas Gadjah Mada: Yogyakarta.
- Sasaki, Y. 1989. Two-dimensional Joint Inversion of Magnetotelluric and dipole-dipole resistivity data. *Geophysics*. Vol. 54 No.2, 254-262.
- Sukamto, R. 1975. Geologi Sulawesi. Departemen Pertambangan dan Energi. Direktorat Jenderal Geologi dan Sumber Daya Mineral, Pusat Penelitian dan Pengembangan.
- Surawan, Y. 2014. Optimalisasi Penggunaan ERT Konfigurasi Gradient Dalam Memaksimalkan Eksplorasi Nikel Laterit. Universitas Hasanuddin: Makassar.
- Syamsuddin. 2007. Penentuan Struktur Bawah Permukaan Bumi dangkal Dengan Menggunakan Metoda Geolistrik Tahanan Jenis 2D Studi Kasus Potensi Tanah Longsor di Panawangan, Ciamis. Tesis. Program Studi Geofisika Terapan. Bandung: Institut Teknologi Bandung.
- Telford, W.M., Geldart., dan Sheriff, R. 1990. Applied Geophysics Second Edition. Cambridge: Cambridge University Press.
- USGS. 1996-2023. Minerals Commodity Summaries. US Geological Survey (USGS), Reston, Virginia, USA, <https://www.usgs.gov/centers/national-minerals-information-center/nickel-statistics-and-information>.

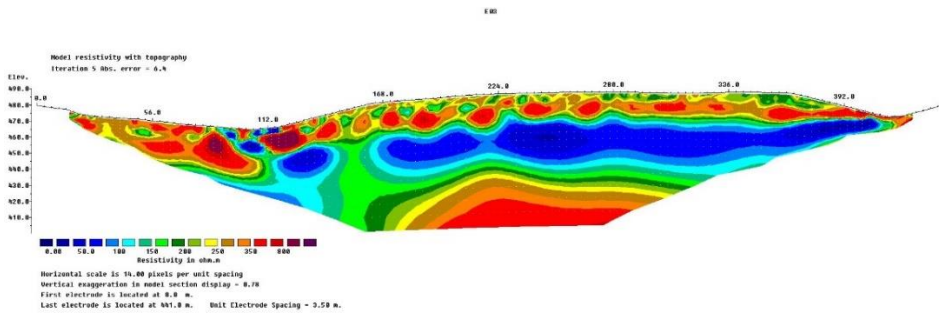
LAMPIRAN

Lampiran 1 Hasil Inversi Data ERT di *East Block*

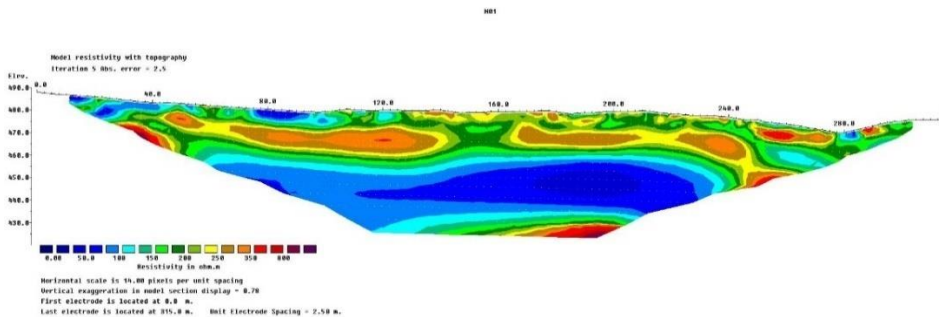
Lintasan E01



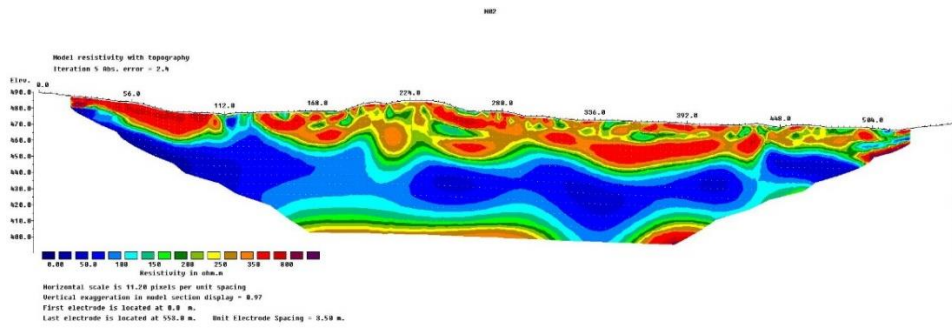
Lintasan E03



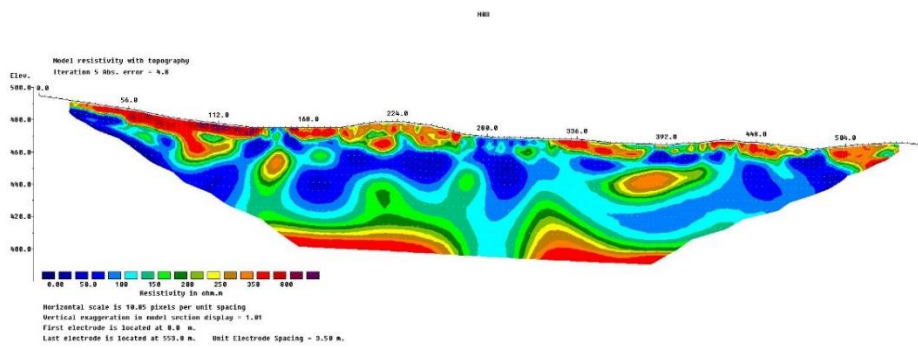
Lintasan N01



Lintasan N02

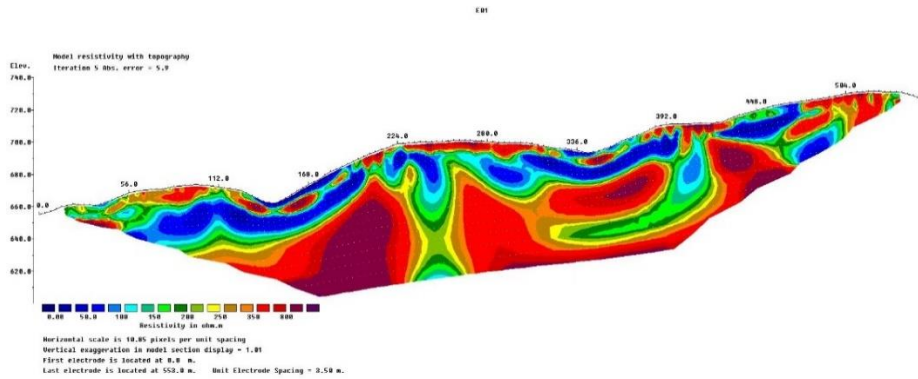


Lintasan N03

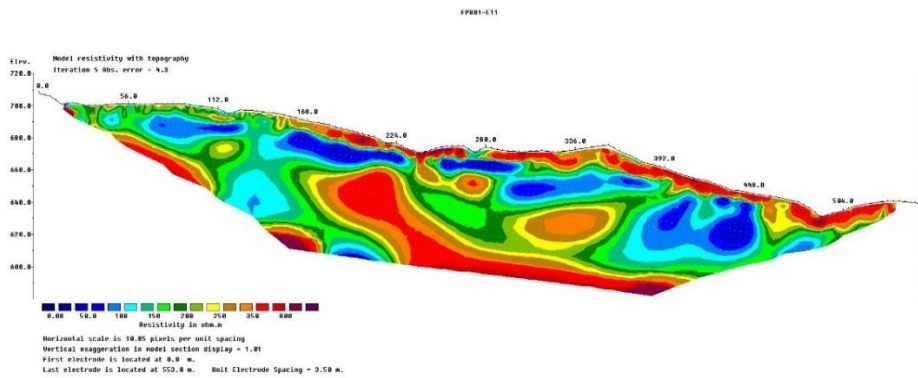


Lampiran 2 Hasil Inversi Data ERT di West Block

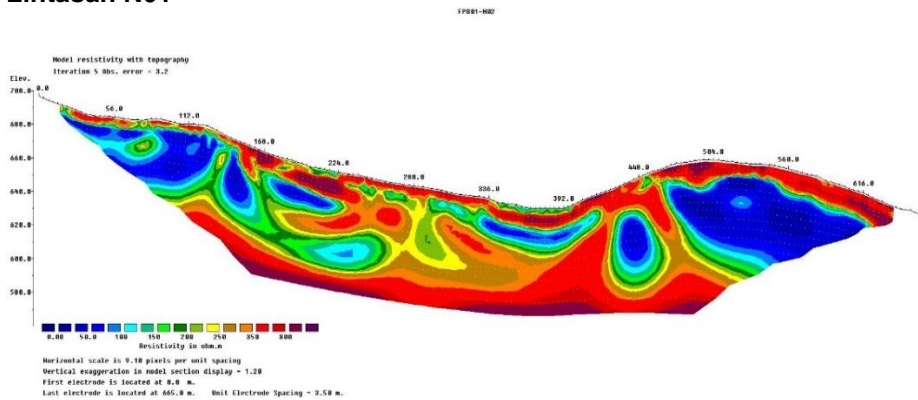
Lintasan E02



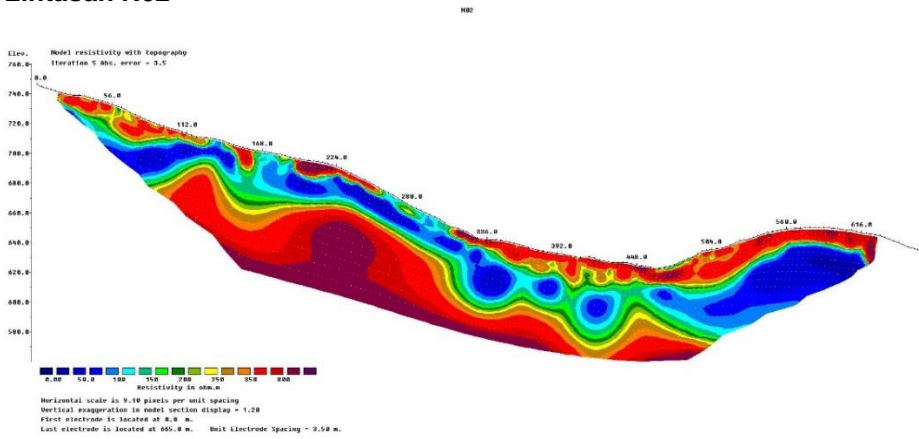
Lintasan E03



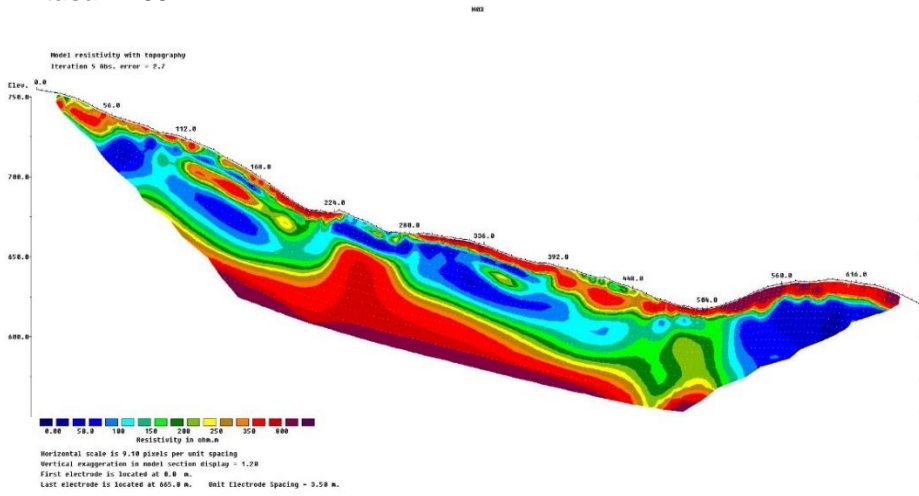
Lintasan N01



Lintasan N02



Lintasan N03



Lampiran 3 Pemodelan ke Depan (*Forward modeling*)

Pemodelan ke depan adalah proses untuk memprediksi distribusi potensial listrik pada setiap titik dipermukaan tanah, berdasarkan persamaan yang menggambarkan aliran arus listrik melalui tanah dengan distribusi resistivitas yang tidak homogen. Proses ini penting dalam inversi karena diperlukan untuk menghitung nilai resistivitas semu teoritis/kalkulasi. Nilai ini kemudian dibandingkan dengan nilai terukur dari data lapangan untuk mengevaluasi kesesuaian model terhadap kondisi sebenarnya di bawah permukaan. Metode yang sering digunakan dalam pemodelan kedepan adalah metode *Finite Difference* (FD) dan metode *Finite Element* (FE). *Finite Element* membagi domain menjadi elemen-elemen kecil yang lebih fleksibel dalam bentuk seperti *rectangular* atau *triangular*. Setiap elemen memiliki titik-titik simpul (Nodes), dimana potensial dihitung dan kemudian di interpolasi di seluruh elemen. Metode FE cocok untuk daerah dengan topografi yang kompleks atau batas yang tidak beraturan (Looke, 2004).

Untuk mendapatkan kesesuaian antara model teoritis (respon model) dan data lapangan, dilakukan proses coba-coba (*trial and error*) dengan cara mengubah nilai parameter modelnya. Istilah "*Forward Modeling*" tidak hanya mencakup perhitungan respon model tetapi juga merupakan proses coba-coba secara manual untuk mendapatkan model yang memberikan respon yang cocok dengan data lapangan. Penggunaan *Forward Modeling* dalam kasus ketika terdapat *noise* yang cukup besar lebih efektif digunakan (Grandis, 2009).

- **Dalam metode geolistrik, penerapan *finite element* dalam mencari potensial arus.**

Ketika ada sumber arus (I) yang mengalir keluar atau masuk, maka untuk menghitung distribusi potensial (V) dengan konduktivitas listrik (σ) tidak homogen, maka digunakan persamaan Poisson.

$$\nabla(\sigma \cdot \nabla V) = I$$

Pada kenyataannya arus dialirkan melalui probe yang terbatas (arus dialirkan melalui suatu alat atau antarmuka fisik dengan ukuran dan bentuk tertentu bukan melalui titik yang benar-benar kecil atau tidak berdimensi). Untuk tujuan pemodelan, arus dianggap berasal dari sumber titik. Oleh karena itu, sumber arus dapat di jelaskan oleh fungsi delta Diract (δ) dan arus titik (I) (Coggon, 1971). Jika A merupakan titik sumber arus, maka:

$$\nabla(\sigma \cdot \nabla V) = I\delta(A)$$

Dimana (σ) merupakan konduktivitas dan ∇V ialah perubahan potensial. Maka dengan menerapkan transformasi Fourier Cosinus akan didapatkan nilai potensialnya.

$$V_{(x,y,k)} = \int_0^{\infty} V_{x,y,z} \cos(Kz) dz$$

Dengan menggunakan fungsi Bessel dengan pendekatan batas tak hingga, maka variasi potensial listrik pada penampang geolistrik 2D diberikan oleh:

$$F(v) = \int_{\Omega} \left[\frac{1}{2} \sigma (\nabla V)^2 + \frac{1}{2} \sigma k^2 V^2 - I \delta(A) V \right] d\Omega$$

Daerah domain Ω didiskritisasi menjadi beberapa elemen berbentuk segiempat seperti pada gambar. Jumlah node total adalah n , maka integral domain Ω didekomposisi menjadi integral untuk setiap elemen e (Cai dkk., 2007).

$$F(v) = \sum_{\Omega} \int_e \frac{1}{2} \sigma (\nabla V)^2 d\Omega + \sum_{\Omega} \int_e \frac{1}{2} \sigma k^2 V^2 d\Omega - \sum_{\Omega} \int_e I \delta(A) V d\Omega$$

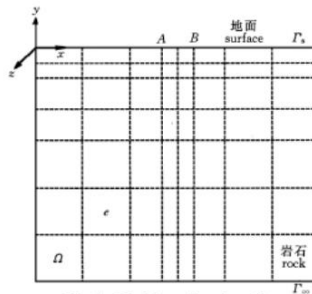


Fig.1 Division of region Ω

Jika persamaan diatas diselesaikan pada setiap suku masing-masing maka;

1. Suku pertama

$$\sum_{\Omega} \int_e \frac{1}{2} \sigma (\nabla V)^2 d\Omega = \sum_{\Omega} \int_e \frac{1}{2} \sigma \left(\frac{\partial V}{\partial x} + \frac{\partial V}{\partial y} \right)^2 dx dy$$

- Apabila potensial (V) terhadap x diturunkan secara parsial maka

$$\begin{aligned} \frac{\partial V}{\partial x} &= \sum_{i=1}^n \frac{\partial N_i}{\partial x} V_i \quad ; n = \text{node} \\ &= \left(\frac{\partial N_1}{\partial x} \right)^T V_e \end{aligned}$$

Dengan $V_e = (V_1, V_2, V_3, V_4)^T$ dan $\frac{\partial N_1}{\partial x} = \left(\frac{\partial N_1}{\partial x}, \frac{\partial N_2}{\partial x}, \frac{\partial N_3}{\partial x}, \frac{\partial N_4}{\partial x} \right)^T$, maka

$$\left(\frac{\partial V}{\partial x} \right)^2 = V_e^T \left(\frac{\partial N}{\partial x} \right) \left(\frac{\partial N}{\partial x} \right)^T V_e$$

$$\left(\frac{\partial V}{\partial x} \right)^2 = (V_1, V_2, V_3, V_4)^T \left(\frac{\partial N_1}{\partial x}, \frac{\partial N_2}{\partial x}, \frac{\partial N_3}{\partial x}, \frac{\partial N_4}{\partial x} \right) \left(\frac{\partial N_1}{\partial x}, \frac{\partial N_2}{\partial x}, \frac{\partial N_3}{\partial x}, \frac{\partial N_4}{\partial x} \right)^T (V_1, V_2, V_3, V_4)$$

- Apabila potensial (V) terhadap y diturunkan secara parsial maka

$$\begin{aligned}\frac{\partial V}{\partial y} &= \sum_{i=1}^n \frac{\partial N_i}{\partial y} V_i \quad ; n = \text{node} \\ &= \left(\frac{\partial N_1}{\partial y} \right)^T V_e\end{aligned}$$

Dengan $V_e = (V_1, V_2, V_3, V_4)^T$ dan $\frac{\partial N_i}{\partial y} = \left(\frac{\partial N_1}{\partial y}, \frac{\partial N_2}{\partial y}, \frac{\partial N_3}{\partial y}, \frac{\partial N_4}{\partial y} \right)^T$, maka

$$\left(\frac{\partial V}{\partial y} \right)^2 = V_e^T \left(\frac{\partial N}{\partial y} \right) \left(\frac{\partial N}{\partial y} \right)^T V_e$$

$$\left(\frac{\partial V}{\partial y} \right)^2 = (V_1, V_2, V_3, V_4)^T \left(\frac{\partial N_1}{\partial y}, \frac{\partial N_2}{\partial y}, \frac{\partial N_3}{\partial y}, \frac{\partial N_4}{\partial y} \right) \left(\frac{\partial N_1}{\partial y}, \frac{\partial N_2}{\partial y}, \frac{\partial N_3}{\partial y}, \frac{\partial N_4}{\partial y} \right)^T (V_1, V_2, V_3, V_4)$$

Dengan mensubstitusikan ke dalam persamaan awal pada suku pertama maka;

$$\begin{aligned}\sum_{\Omega} \int_e \frac{1}{2} \sigma (\nabla V)^2 d\Omega \\ = \int_e \frac{1}{2} \sigma \left[V_e^T \left(\frac{\partial N}{\partial x} \right) \left(\frac{\partial N}{\partial x} \right)^T V_e + V_e^T \left(\frac{\partial N}{\partial y} \right) \left(\frac{\partial N}{\partial y} \right)^T V_e \right] dx dy\end{aligned}$$

Jika $\sigma \left(\frac{\partial N}{\partial x} \right) \left(\frac{\partial N}{\partial x} \right)^T + \left(\frac{\partial N}{\partial y} \right) \left(\frac{\partial N}{\partial y} \right)^T$ merupakan matriks maka $[K_{1e}]$

$$\sum_{\Omega} \int_e \frac{1}{2} \sigma (\nabla V)^2 d\Omega = \frac{1}{2} V_e^T [K_{1e}] V_e$$

Dimana

$$\begin{aligned}K_{1e} &= \int_e \sum_{i=1}^4 \sigma \left[\left(\frac{\partial N}{\partial x} \right) \left(\frac{\partial N}{\partial x} \right)^T \left(\frac{\partial N}{\partial y} \right) \left(\frac{\partial N}{\partial y} \right)^T \right] dx dy \\ &= \sum_{i=1}^4 \left\{ \int_{-1}^1 \int_{-1}^1 \sigma \left[\left(\frac{\partial N}{\partial \xi} \right)^T \left(\frac{\partial N}{\partial \xi} \right) \left(\frac{\partial N}{\partial \eta} \right)^T \left(\frac{\partial N}{\partial \eta} \right) \right] d\xi d\eta \right\} \\ &= \int_{-1}^1 \int_{-1}^1 \sigma \left[\left(\frac{\partial N}{\partial \xi} \right)^T \left(\frac{\partial N}{\partial \xi} \right) \left(\frac{\partial N}{\partial \eta} \right)^T \left(\frac{\partial N}{\partial \eta} \right) \right] d\xi d\eta \\ K_{1e} &= \sigma \int_{-1}^1 \int_{-1}^1 [B]^T [B] d\xi d\eta\end{aligned}$$

Untuk mendapatkan matriks $[B]$ atau *shape function* maka terlebih dahulu membuat fungsi uji linear menggunakan persamaan Polinomial Langrange lalu menurunkan fungsi uji tersebut terhadap arah ξ dan η .

Langkah-langkah dalam menyelesaikan pemodelan kedepan menggunakan *finite element* adalah melakukan diskritisasi atau *meshing*, dalam satu domain dibagi menjadi beberapa elemen. Kemudian mencari pola dan bentuk distribusi menggunakan *polynomial* atau perpindahan dan turunannya pada setiap mesh untuk melihat perpindahan dari arah x dan y . Desain mesh yang digunakan untuk komputasi sangatlah penting. Jumlah node menentukan tingkat resolusi spasial, karena itu pemilihan node memiliki dampak yang signifikan terhadap akurasi.

Arah koordinat horizontal diwakili oleh $\xi(xi)$ dan arah koordinat vertikal diwakili oleh $\eta(eta)$. Setiap node memiliki 2 DOF (*Degree of freedom/derajat kebebasan*) yaitu node dapat mengalami perpindahan kearah x atau vertikal yang dinyatakan dalam (u) dan perpindahan kearah y atau horizontal dinyatakan dalam (v) seperti pada gambar. Dalam pendekatan linear 2D untuk perpindahan node (u dan v) dan shape function (N) dinyatakan sebagai berikut:

$$\begin{bmatrix} u \\ v \end{bmatrix} = \begin{bmatrix} N_1 & 0 & N_2 & 0 & N_3 & 0 & N_4 & 0 \\ 0 & N_1 & 0 & N_2 & 0 & N_3 & 0 & N_4 \end{bmatrix} \begin{bmatrix} a_1 \\ b_1 \\ a_2 \\ b_2 \\ a_3 \\ b_3 \\ a_4 \\ b_4 \end{bmatrix}$$

a. Shape Function (Fungsi Bentuk)

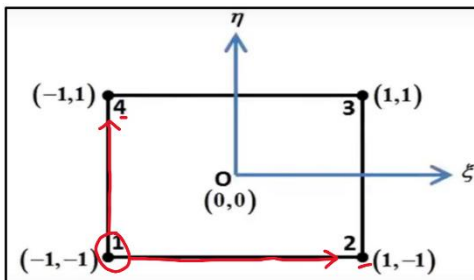
Setiap node memiliki fungsi bentuk yang berbeda-beda, sehingga pada elemen dengan 4 node akan diperoleh 4 shape function juga. Untuk menghitung shape function setiap node dapat digunakan polynomial Langrange 2D (Xiong, 2022):

$$N_k = \frac{\xi - \xi_m}{\xi_k - \xi_m} x \frac{\eta - \eta_m}{\eta_k - \eta_m}$$

Dengan k adalah titik node, dan m adalah titik node yang terhubung dengan node yang dicari.

- **Shape function Node 1**

Pada node 1 memiliki DOF kearah x menuju node 2 dan kearah y menuju node 4



$$N_1 = \frac{\xi - \xi_2}{\xi_1 - \xi_2} x \frac{\eta - \eta_4}{\eta_1 - \eta_4}$$

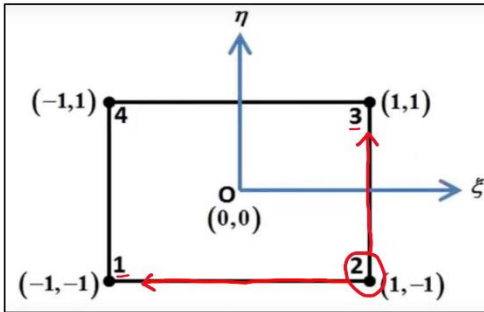
$$N_1 = \frac{\xi - 1}{-1 - 1} x \frac{\eta - 1}{-1 - 1}$$

$$N_1 = \frac{-(1 - \xi)}{-2} x \frac{-(1 - \eta)}{-2}$$

$$N_1 = \frac{(1 - \xi)(1 - \eta)}{4}$$

- **Shape function Node 2**

Pada node 2 memiliki DOF kearah x menuju node 1 dan kearah y menuju node 3



$$N_2 = \frac{\xi - \xi_1}{\xi_2 - \xi_1} x \frac{\eta - \eta_3}{\eta_2 - \eta_3}$$

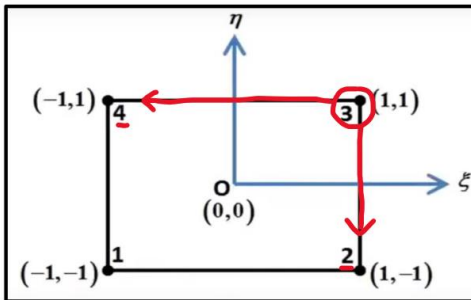
$$N_2 = \frac{\xi - (-1)}{-1 - (-1)} x \frac{\eta - 1}{-1 - 1}$$

$$N_2 = \frac{(1 + \xi)}{2} x \frac{-(1 - \eta)}{-2}$$

$$N_2 = \frac{(1 + \xi)(1 - \eta)}{4}$$

- **Shape function Node 3**

Pada node 3 memiliki DOF kearah x menuju node 4 dan kearah y menuju node 2



$$N_3 = \frac{(\xi - \xi_4)(\eta - \eta_2)}{(\xi_3 - \xi_4)(\eta_3 - \eta_2)}$$

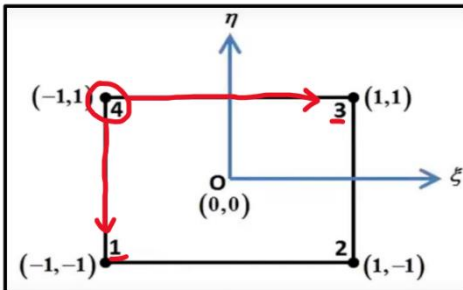
$$N_3 = \frac{\xi - (-1)}{1 - (-1)} x \frac{\eta - (-1)}{1 - (-1)}$$

$$N_3 = \frac{(1 + \xi)}{2} x \frac{(1 + \eta)}{2}$$

$$N_3 = \frac{(1 + \xi)(1 + \eta)}{4}$$

- **Shape function Node 4**

Pada node 4 memiliki DOF kearah x menuju node 3 dan kearah y menuju node 1



$$N_4 = \frac{(\xi - \xi_3)(\eta - \eta_1)}{(\xi_4 - \xi_3)(\eta_4 - \eta_1)}$$

$$N_4 = \frac{\xi - (-1)}{1 - (-1)} x \frac{\eta - (-1)}{1 - (-1)}$$

$$N_4 = \frac{(1 + \xi)}{2} x \frac{(1 + \eta)}{2}$$

$$N_4 = \frac{(1 + \xi)(1 + \eta)}{4}$$

Jika dituliskan dalam bentuk matriks maka *shape function* pada setiap nodenya yaitu

$$[N] = \begin{bmatrix} N_1 & 0 & N_2 & 0 & N_3 & 0 & N_4 & 0 \\ 0 & N_1 & 0 & N_2 & 0 & N_3 & 0 & N_4 \end{bmatrix}$$

Dari shape function dapat dihitung matriks $[B]$ dengan mensubstitusi shape function setiap node.

1. Dalam arah horizontal (ξ)

- Untuk N_1

$$\begin{aligned} \frac{\partial N_1}{\partial \xi} &= \frac{\frac{1}{4}(1-\xi)(1-\eta)}{\partial \xi} \\ &= \frac{\frac{1}{4}(1-\eta-\xi+\xi\eta)}{\partial \xi} \\ &= \frac{1}{4}(0-0-1+\eta) \\ &= \frac{1}{4}(-1+\eta) \end{aligned}$$

- Untuk N_2

$$\begin{aligned} \frac{\partial N_2}{\partial \xi} &= \frac{\frac{1}{4}(1+\xi)(1-\eta)}{\partial \xi} \\ &= \frac{\frac{1}{4}(1-\eta+\xi-\xi\eta)}{\partial \xi} \\ &= \frac{1}{4}(0-0+1-\eta) \\ &= \frac{1}{4}(1-\eta) \end{aligned}$$

- Untuk N_3

$$\begin{aligned} \frac{\partial N_3}{\partial \xi} &= \frac{\frac{1}{4}(1+\xi)(1+\eta)}{\partial \xi} \\ &= \frac{\frac{1}{4}(1+\eta+\xi+\xi\eta)}{\partial \xi} \\ &= \frac{1}{4}(0+0+1+\eta) \\ &= \frac{1}{4}(1+\eta) \end{aligned}$$

- Untuk N_4

$$\begin{aligned} \frac{\partial N_4}{\partial \xi} &= \frac{\frac{1}{4}(1-\xi)(1+\eta)}{\partial \xi} \\ &= \frac{\frac{1}{4}(1+\eta-\xi-\xi\eta)}{\partial \xi} \end{aligned}$$

$$\begin{aligned}
 &= \frac{1}{4}(0 + 0 - 1 - \eta) \\
 &= \frac{1}{4}(-1 - \eta)
 \end{aligned}$$

2. Dalam arah vertikal (η)

- Untuk N_1

$$\begin{aligned}
 \frac{\partial N_1}{\partial \eta} &= \frac{\frac{1}{4}(1 - \xi)(1 - \eta)}{\partial \eta} \\
 &= \frac{\frac{1}{4}(1 - \eta - \xi + \xi\eta)}{\partial \eta} \\
 &= \frac{1}{4}(0 - 1 - 0 + \xi) \\
 &= \frac{1}{4}(-1 + \xi)
 \end{aligned}$$

- Untuk N_2

$$\begin{aligned}
 \frac{\partial N_2}{\partial \eta} &= \frac{\frac{1}{4}(1 + \xi)(1 - \eta)}{\partial \eta} \\
 &= \frac{\frac{1}{4}(1 - \eta + \xi - \xi\eta)}{\partial \eta} \\
 &= \frac{1}{4}(0 - 1 + 0 - \xi) \\
 &= \frac{1}{4}(-1 - \xi)
 \end{aligned}$$

- Untuk N_3

$$\begin{aligned}
 \frac{\partial N_3}{\partial \eta} &= \frac{\frac{1}{4}(1 + \xi)(1 + \eta)}{\partial \eta} \\
 &= \frac{\frac{1}{4}(1 + \eta + \xi + \xi\eta)}{\partial \eta} \\
 &= \frac{1}{4}(0 + 1 + 0 + \xi) \\
 &= \frac{1}{4}(1 + \xi)
 \end{aligned}$$

- Untuk N_4

$$\begin{aligned}
 \frac{\partial N_4}{\partial \eta} &= \frac{\frac{1}{4}(1 - \xi)(1 + \eta)}{\partial \eta} \\
 &= \frac{\frac{1}{4}(1 + \eta - \xi - \xi\eta)}{\partial \eta}
 \end{aligned}$$

$$= \frac{1}{4}(0 + 1 - 0 - \xi)$$

$$= \frac{1}{4}(1 - \xi)$$

Substitusi ke dalam matriks $[B]$, sehingga diperoleh matriks $[B]$ sebagai berikut:

$$[B] = \frac{1}{4} \begin{bmatrix} (-1 + \eta) & 0 & (1 - \eta) & 0 & (1 + \eta) & 0 & (-1 - \eta) & 0 \\ 0 & (-1 + \xi) & 0 & (-1 - \xi) & 0 & (1 + \xi) & 0 & (1 - \xi) \\ (-1 + \xi) & (-1 + \eta) & (-1 - \xi) & (1 - \eta) & (1 + \xi) & (1 + \eta) & (1 - \xi) & (-1 - \eta) \end{bmatrix}$$

Kemudian matriks $[B]^T$ ditranspose kan, sehingga diperoleh:

$$[B]^T = \frac{1}{4} \begin{bmatrix} (-1 + \eta) & 0 & (-1 + \xi) \\ 0 & (-1 + \xi) & (-1 + \eta) \\ (1 - \eta) & 0 & (-1 - \xi) \\ 0 & (-1 - \xi) & (1 - \eta) \\ (1 + \eta) & 0 & (1 + \xi) \\ 0 & (1 + \xi) & (1 + \eta) \\ (-1 - \eta) & 0 & (1 - \xi) \\ 0 & (1 - \xi) & (-1 - \eta) \end{bmatrix}$$

$$[C]^T = \frac{1}{4} \begin{bmatrix} (-1 + \xi) \\ (-1 + \eta) \\ (-1 - \xi) \\ (1 - \eta) \\ (1 + \xi) \\ (1 + \eta) \\ (1 - \xi) \\ (-1 - \eta) \end{bmatrix}$$

Dengan mensubstitusikannya ke dalam persamaan, maka didapatkan matriks K_{1e} .

$$K_{1e} = \sigma \int_{-1}^1 \int_{-1}^1 [B]^T [B] d\xi d\eta$$

$$K_{1e} = \sigma \int_{-1}^1 \int_{-1}^1 \begin{bmatrix} (-1 + \eta) & 0 \\ 0 & (-1 + \xi) \\ (1 - \eta) & 0 \\ 0 & (-1 - \xi) \\ (1 + \eta) & 0 \\ 0 & (1 + \xi) \\ (-1 - \eta) & 0 \\ 0 & (1 - \xi) \end{bmatrix} \begin{bmatrix} (-1 + \eta) & 0 & (1 - \eta) & 0 & (1 + \eta) & 0 & (-1 - \eta) & 0 \\ 0 & (-1 + \xi) & 0 & (-1 - \xi) & 0 & (1 + \xi) & 0 & (1 - \xi) \end{bmatrix} d\xi d\eta$$

Nilai konduktivitas dalam persamaan di dapatkan dari nilai konduktivitas titik datum untuk mendapatkan nilai pada setiap node nya. Jika mensubstitusikan semua persamaan ke dalam persamaan di suku pertama, maka akan menjadi :

$$\sum_{\Omega} \int_e \frac{1}{2} \sigma (\nabla V)^2 d\Omega = \frac{1}{2} V_e^T \left(\int_{-x}^x \int_{-y}^y \sigma \begin{bmatrix} \frac{\partial N_1}{\partial \xi} & 0 & \frac{\partial N_2}{\partial \xi} & 0 & \frac{\partial N_3}{\partial \xi} & 0 & \frac{\partial N_4}{\partial \xi} & 0 \\ 0 & \frac{\partial N_1}{\partial \zeta} & 0 & \frac{\partial N_2}{\partial \zeta} & 0 & \frac{\partial N_3}{\partial \zeta} & 0 & \frac{\partial N_4}{\partial \zeta} \end{bmatrix} \begin{bmatrix} \frac{\partial N_1}{\partial \xi} & 0 \\ 0 & \frac{\partial N_1}{\partial \zeta} \\ \frac{\partial N_2}{\partial \xi} & 0 \\ 0 & \frac{\partial N_2}{\partial \zeta} \\ \frac{\partial N_3}{\partial \xi} & 0 \\ 0 & \frac{\partial N_3}{\partial \zeta} \\ \frac{\partial N_4}{\partial \xi} & 0 \\ 0 & \frac{\partial N_4}{\partial \zeta} \end{bmatrix} d\xi d\zeta \right) V_e$$

Perkalian matriks suku pertama ini akan menghasilkan matriks 8x8 yang mewakili luasan area elemen

$$[K_{1e}] = \begin{array}{cccccccc|c} u_1 & v_1 & u_2 & v_2 & u_3 & v_3 & u_4 & v_4 & \\ \hline k_{11} & k_{12} & k_{13} & k_{14} & k_{15} & k_{16} & k_{17} & k_{18} & u_1 \\ k_{21} & k_{22} & k_{23} & k_{24} & k_{25} & k_{26} & k_{27} & k_{28} & v_1 \\ k_{31} & k_{32} & k_{33} & k_{34} & k_{35} & k_{36} & k_{37} & k_{38} & u_2 \\ k_{41} & k_{42} & k_{43} & k_{44} & k_{45} & k_{46} & k_{47} & k_{48} & v_2 \\ k_{51} & k_{52} & k_{53} & k_{54} & k_{55} & k_{56} & k_{57} & k_{58} & u_3 \\ k_{61} & k_{62} & k_{63} & k_{64} & k_{65} & k_{66} & k_{67} & k_{68} & v_3 \\ k_{71} & k_{72} & k_{73} & k_{74} & k_{75} & k_{76} & k_{77} & k_{78} & u_4 \\ k_{81} & k_{82} & k_{83} & k_{84} & k_{85} & k_{86} & k_{87} & k_{88} & v_4 \end{array}$$

2. Suku kedua

$$\sum_{\Omega} \int_e \frac{1}{2} \sigma k^2 v^2 d\Omega = \frac{1}{2} v_e^T \left\{ \int_e \sum_{j=1}^4 N_j \sigma_j (k^2 N^T N) dx dy \right\} v_e = \frac{1}{2} v_e^T K_{e2} v_e$$

$$K_{e2} = \int_2 \sum_{j=1}^4 N_j \sigma_j (k^2 N^T N) dx dy$$

$$K_{e2} = \int_{-1}^1 \int_{-1}^1 [C]^T [C] d\xi d\eta$$

K_{e2}

$$= \int_{-1}^1 \int_{-1}^1 \begin{bmatrix} (-1 + \xi) \\ (-1 + \eta) \\ (-1 - \xi) \\ (1 - \eta) \\ (1 + \xi) \\ (1 + \eta) \\ (1 - \xi) \\ (-1 - \eta) \end{bmatrix} \begin{bmatrix} (-1 + \xi) & (-1 + \eta) & (-1 - \xi) & (1 - \eta) & (1 + \xi) & (1 + \eta) & (1 - \xi) & (-1 - \eta) \end{bmatrix}$$

Perkalian matriks suku kedua akan menghasilkan matriks 8x8 yang mewakili luasan area elemen

$$[K_{2e}] = \begin{array}{cccccccc|c} u_1 & v_1 & u_2 & v_2 & u_3 & v_3 & u_4 & v_4 & \\ \hline k_{11} & k_{12} & k_{13} & k_{14} & k_{15} & k_{16} & k_{17} & k_{18} & u_1 \\ k_{21} & k_{22} & k_{23} & k_{24} & k_{25} & k_{26} & k_{27} & k_{28} & v_1 \\ k_{31} & k_{32} & k_{33} & k_{34} & k_{35} & k_{36} & k_{37} & k_{38} & u_2 \\ k_{41} & k_{42} & k_{43} & k_{44} & k_{45} & k_{46} & k_{47} & k_{48} & v_2 \\ k_{51} & k_{52} & k_{53} & k_{54} & k_{55} & k_{56} & k_{57} & k_{58} & u_3 \\ k_{61} & k_{62} & k_{63} & k_{64} & k_{65} & k_{66} & k_{67} & k_{68} & v_3 \\ k_{71} & k_{72} & k_{73} & k_{74} & k_{75} & k_{76} & k_{77} & k_{78} & u_4 \\ k_{81} & k_{82} & k_{83} & k_{84} & k_{85} & k_{86} & k_{87} & k_{88} & v_4 \end{array}$$

3. Suku ketiga

$$\sum_{\Omega} \int_e I \delta(A) v d\Omega = \frac{1}{2} I V_A = V^T P$$

Pada persamaan ini dapat menghitung kontribusi batas antar elemen lainnya ketika medan listriknya mengalami perubahan secara signifikan. Pada persamaan ini pula diterapkan kondisi batas (*boundry condition*).

Setelah didapatkan persamaan di setiap suku maka disubstitusikan ke dalam persamaan 4. dengan $F(V) = 0$, maka

$$\begin{aligned} F(V) &= \frac{1}{2} V_e^t K_{1e} V_e + \frac{1}{2} V_e^t K_{2e} V_e - V^T P \\ &= V^T K V - V^T P \\ &= KV - P \end{aligned}$$

Dengan K adalah matriks orde 8x8 yang merupakan penjumlahan dari ($K_{1e} + K_{2e}$), V adalah vektor kolom yang merupakan potensial listrik dari semua titik elemen dalam domain *wave number*. Dengan $F(V) = 0$, maka

$$KV = P$$

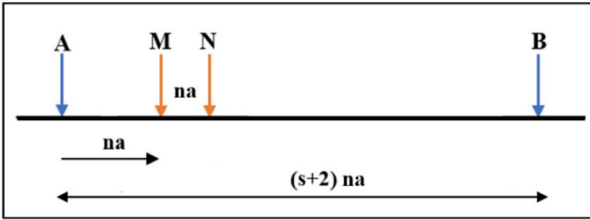
$$V = K^{-1}P$$

$$\{V\} = [K_{1e} + K_{2e}]^{-1}\{P\}$$

$$\{V\} = \left[\left(\sigma \int_{-1}^1 \int_{-1}^1 [B]^T [B] d\xi d\eta \right) + \left(\int_{-1}^1 \int_{-1}^1 [C]^T [C] d\xi d\eta \right) \right]^{-1} \{P\}$$

Persamaan linear ($KV = P$) diselesaikan untuk memperoleh potensial listrik (V) dari setiap elemen dalam domain.

Lampiran 4 Faktor Geometri Konfigurasi Gradient



$$\begin{aligned} r_1 &= AM = na \\ r_2 &= MB = (s+1)na \\ r_3 &= AN = 2na \\ r_4 &= NB = sna \end{aligned}$$

$$K = 2\pi \left[\left(\frac{1}{r_1} - \frac{1}{r_2} \right) - \left(\frac{1}{r_3} - \frac{1}{r_4} \right) \right]^{-1}$$

$$K = 2\pi \left[\left(\frac{1}{na} - \frac{1}{(s+1)na} \right) - \left(\frac{1}{2na} - \frac{1}{sna} \right) \right]^{-1}$$

$$K = 2\pi \left[\left(\frac{s}{(s+1)na} \right) - \left(\frac{s-2}{2sna} \right) \right]^{-1}$$

$$K = 2\pi \left[\left(\frac{2s^2}{2(s+1)sna} \right) - \left(\frac{s^2 - 2 + s - 2}{2(s+1)sna} \right) \right]^{-1}$$

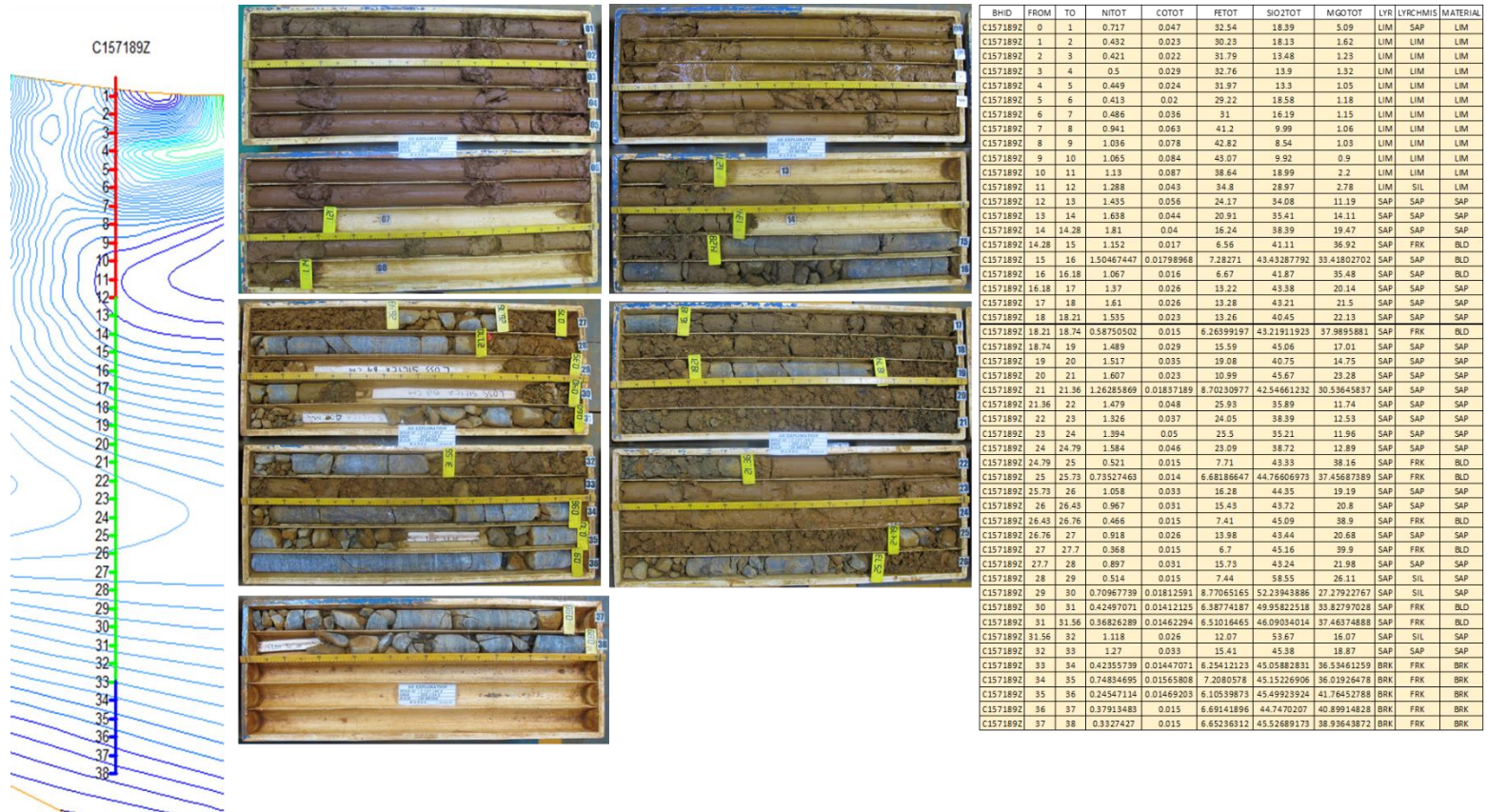
$$K = 2\pi \left[\frac{2s^2 - (s^2 + s - 2)}{2(s+1)sna} \right]^{-1}$$

$$K = 2\pi \left[\frac{s^2 + s - 2}{2(s+1)sna} \right]^{-1}$$

$$K = 2\pi \frac{2(s+1)sna}{s^2 + s - 2}$$

$$K = \frac{4\pi(s+1)sna}{s^2 + s - 2}$$

Lampiran 5 Fotocore & Data Assay sebagai data pendukung dalam interpretasi



Lampiran 6 Pembuktian Rumus Geolistrik

Potensial akibat arus tunggal di dalam bumi

Ditinjau Laplacian dari koordinat bola (Bumi), dimana bumi dalam keadaan statis, sehingga hanya ditinjau fungsi jari-jari, maka sudut θ dan ϕ diabaikan.

$$\nabla^2 = \frac{\partial}{\partial r} + \frac{2}{r} \frac{\partial}{\partial r} + \frac{1}{r^2 \sin \theta} \frac{\partial}{\partial \theta} (\sin \theta \frac{\partial}{\partial \theta}) + \frac{1}{r^2 \sin^2 \theta} \left(\frac{\partial^2}{\partial \phi^2} \right)$$

$$\nabla^2 = \frac{d}{dr^2} + \frac{2}{r} \frac{d}{dr}$$

$$\nabla^2 V = \frac{d^2 V}{dr^2} + \frac{2}{r} \frac{dV}{dr}$$

Persamaan diatas dapat juga ditulis seperti dibawah ini

$$\nabla^2 V = \frac{1}{r^2} \frac{d}{dr} \left(r^2 \frac{dV}{dr} \right)$$

Karena $\nabla^2 V = 0$, maka

$$\frac{1}{r^2} \frac{d}{dr} \left(r^2 \frac{dV}{dr} \right) = 0$$

r^2 pindah ke ruas kanan, sehingga:

$$\frac{d}{dr} \left(r^2 \frac{dV}{dr} \right) = 0 \cdot r^2$$

$$\frac{d}{dr} \left(r^2 \frac{dV}{dr} \right) = 0$$

Kemudian di integralkan

$$\int \frac{d}{dr} \left(r^2 \frac{dV}{dr} \right) = \int 0, \text{ dimana } 0 \text{ adalah konstanta}$$

$$r^2 \frac{dV}{dr} = A \text{ (konstanta)}$$

$$\frac{dV}{dr} = \frac{A}{r^2}$$

$$dV = \frac{A}{r^2} dr$$

Kemudian diintegalkan lagi, sehingga

$$\int dV = \int \frac{A}{r^2} dr$$

$$V = -\frac{A}{r} + B$$

Memasukkan syarat batas $V = 0$ ketika $r = \infty$, menjadi:

$$0 = -\frac{A}{\infty} + B$$

$$0 = 0 + B$$

$$B = 0 \rightarrow \text{ketika syarat batas } V = 0. r = \infty$$

$$V = -\frac{A}{r}$$

Karena yang ditinjau rapat arus (J), diketahui $J = \frac{I}{A}$. Karena yang ditinjau bola maka luas permukaan (A) adalah $4\pi r^2$.

$$J = \frac{I}{4\pi r^2}$$

$$J = -\sigma \nabla V$$

$$I = 4\pi r^2 J$$

$$I = 4\pi r^2 (-\sigma \nabla V) \rightarrow \nabla V = \frac{dV}{dr}$$

$$I = -4\pi r^2 \sigma \frac{dV}{dr} \rightarrow \frac{dV}{dr} = \frac{A}{r^2}$$

$$I = -4\pi r^2 \sigma \frac{A}{r^2}$$

$$I = -4\pi \sigma A$$

$$A = -\frac{I}{4\pi \sigma}$$

$$A = -\frac{I}{4\pi \left(\frac{1}{\rho}\right)}$$

$$A = -\frac{I\rho}{4\pi}$$

$$V = -\frac{1}{r} \left(-\frac{I\rho}{4\pi} \right)$$

$$V = \left(\frac{I\rho}{4\pi} \right) \frac{1}{r}$$

$$\rho = \frac{4\pi r V}{I}$$

Potensial akibat arus tunggal di permukaan bumi

Udara di atas permukaan dianggap ($\sigma = 0$) maka garis equipotensial membentuk setengah bola ($A = 2\pi r^2$).

$$J = \frac{I}{A}$$

$$J = \frac{I}{2\pi r^2}$$

$$I = 2\pi r^2 J$$

$$I = 2\pi r^2 (-\sigma \nabla V)$$

$$I = 2\pi r^2 \left(-\sigma \frac{dV}{dr} \right)$$

$$I = -2\pi r^2 \sigma \frac{A}{r^2}$$

$$I = -2\pi \sigma A$$

$$A = -\frac{I}{2\pi \sigma}$$

$$A = -\frac{I\rho}{2\pi}$$

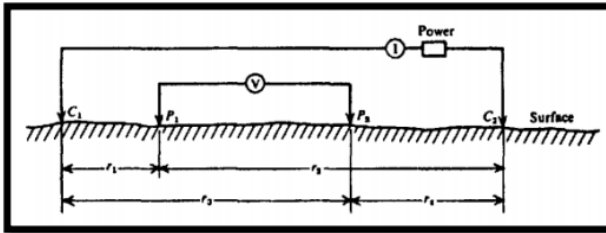
substitusi nilai $A = -\frac{I\rho}{2\pi}$ ke persamaan $V = -\frac{A}{r}$

$$V = -\frac{1}{r} \left(-\frac{I\rho}{2\pi} \right)$$

$$V = \left(\frac{I\rho}{2\pi} \right) \frac{1}{r}$$

$$\rho = \frac{2\pi r V}{I}$$

Potensial Listrik Yang Dipengaruhi oleh dua elektroda arus listrik



dimana:

$$r_1 = C_1P_1$$

$$r_2 = C_1P_2$$

$$r_3 = C_2P_1$$

$$r_4 = C_2P_2$$

karena $V = -\frac{A}{r}$ dimana $A = -\frac{I\rho}{2\pi}$

$$V_1 = -\frac{A_1}{r_1}$$

$$V_1 = -\frac{1}{r_1} \left(-\frac{I\rho}{2\pi} \right)$$

$$V_1 = \frac{I\rho}{2\pi} \left(\frac{1}{r_1} \right)$$

$$V_2 = -\frac{A_2}{r_2}$$

$$V_2 = -\frac{1}{r_2} \left(\frac{I\rho}{2\pi} \right)$$

$$V_2 = \frac{I\rho}{2\pi} \left(\frac{1}{r_2} \right)$$

$$V = V_1 + V_2$$

$$V = \frac{I\rho}{2\pi} \left(\frac{1}{r_1} \right) + \left(-\frac{I\rho}{2\pi} \right) \left(\frac{1}{r_2} \right)$$

$$V = \frac{I\rho}{2\pi} \left(\frac{1}{r_1} - \frac{1}{r_2} \right)$$

$$V_t = V_1 + V_2$$

$$V_t = \frac{I\rho}{2\pi} \left(\frac{1}{r_3} \right) + \left(-\frac{I\rho}{2\pi} \right) \left(\frac{1}{r_4} \right)$$

$$V_t = \frac{I\rho}{2\pi} \left(\frac{1}{r_3} - \frac{1}{r_4} \right)$$

$$\Delta V = \frac{I\rho}{2\pi} \left(\frac{1}{r_1} - \frac{1}{r_2} \right) - \frac{I\rho}{2\pi} \left(\frac{1}{r_3} - \frac{1}{r_4} \right)$$

$$\Delta V = \frac{I\rho}{2\pi} \left(\frac{1}{r_1} - \frac{1}{r_2} - \frac{1}{r_3} + \frac{1}{r_4} \right)$$